

ارائه الگوریتمی جدید بر مبنای تکنیک تداخل سنجی راداری به منظور پایش فرونشست سطح زمین ناشی از استخراج آبهای زیرزمینی

مریم دهقانی*

استادیار بخش راه، ساختمان و محیط زیست، دانشکده مهندسی، دانشگاه شهراز

تاریخ دریافت مقاله: ۹۴/۰۲/۲۰ تاریخ پذیرش مقاله: ۹۴/۰۳/۲۴

چکیده

استخراج بی رویه از آبهای زیرزمینی منجر به رخداد فرونشست زمین در منطقه ای غیر شهری در زیرحوضه مشهد واقع در شمال شرق ایران شده است. تحلیل سری زمانی به کمک تکنیک تداخل سنجی راداری (*InSAR*) توانایی خود را در پایش تغییرات زمانی فرونشست نشان داده است. در این مقاله، تحلیل سری زمانی بر مبنای طول خط مبنای مکانی کوتاه (*SBAS*) برای مطالعه جابجایی ناشی از فرونشست دشت مشهد مورد استفاده قرار گرفته است. ۱۸ اینترفروگرام به کمک ۱۲ تصویر *ENVISAT ASAR* در بازه زمانی ۲۰۰۳ تا ۲۰۰۵ مورد پردازش قرار گرفت. به منظور کاهش اثر عدم همبستگی زمانی ناشی از زمینهای کشاورزی، تنها اینترفروگرامهای با طول خط مبنای زمانی کوتاه در تحلیل سری زمانی ایجاد شد. لیکن به منظور کاهش اثر کمیود رتبه ماتریس ضرایب در حل کمترین مربعات، در این منطقه برخلاف روش معمول *SBAS* اینترفروگرامهایی با طول خط مبنای مکانی بلند نیز مورد پردازش قرار گرفتند. لازم به ذکر است که در منطقه مورد مطالعه اثر عدم همبستگی مکانی قابل توجه نمی باشد. از آنجا که اثر باقیمانده توپوگرافی در اینترفروگرامهای با طول خط مبنای مکانی بلند قابل توجه می باشد. لذا این اینترفروگرامها قبل از ورود به تحلیل سری زمانی نسبت به این اثر تصحیح شدند. همچنین با ورود شرط نرم کنندگی در حل کمترین مربعات اثر اتمسفر در سری زمانی جابجایی کاهش یافت. بیشترین مقدار نرخ فرونشست ۲۳ سانتیمتر در سال برآورد شد. همچنین رابطه تنش - کرنش در سفره آب زیرزمینی با ترکیب اطلاعات سطح آب چاههای پیزومتری و نتایج حاصل از تحلیل سری زمانی مورد بررسی و مطالعه قرار گرفت.

کلیدواژه‌ها: تداخل سنجی راداری، تحلیل سری زمانی، فرونشست.

* نویسنده مکاتبه‌کننده: مریم دهقانی، شیراز، بلوار کریمخان زند، دانشگاه شهراز، دانشکده مهندسی شماره ۱، بخش راه، ساختمان و محیط زیست، شماره تلفن: ۰۷۱۳۶۱۳۳۱۶۲

۱- مقدمه

این افت در زیرحوضه مشهد در حدود ۱۲.۳ متر در ۱۶ سال می‌باشد [۸].

نرخ فرونشست در زیرحوضه مشهد در ابتدا به وسیله مشاهدات ترازیابی دقیق بین سالهای ۱۳۷۴ و ۱۳۸۴ مشخص شد. به منظور پایش رفتار زمانی فرونشست در زیرحوضه مشهد، یک ایستگاه دائم GPS توسط سازمان نقشه‌برداری کشور در منطقه در سال ۱۳۸۴ برای اندازه گیری های جابجایی سطح زمین راهاندازی شد. لیکن مشاهدات ترازیابی و GPS تنها قادر به اندازه گیری جابجایی در محل ایستگاهها هستند و لذا با استفاده از این روشها نمی‌توان پنهنه و گستره منطقه تحت تأثیر فرونشست را مشخص نمود. از میان تمام روش‌های زمینی و ماهواره‌ای، تنها روش تداخل سنجی راداری (InSAR) قادر به اندازه گیری جابجایی در یک پنهنه بزرگ و با قدرت تفکیک مکانی بالا می‌باشد [۱۰،۹،۶،۱۱،۱۰،۱۲،۱۳،۱۴]. تحلیل سری زمانی به کمک تعداد قابل توجهی از اینترفروگرامها منجر به پایش رفتار زمانی فرونشست می‌گردد [۱۵ و ۱۶].

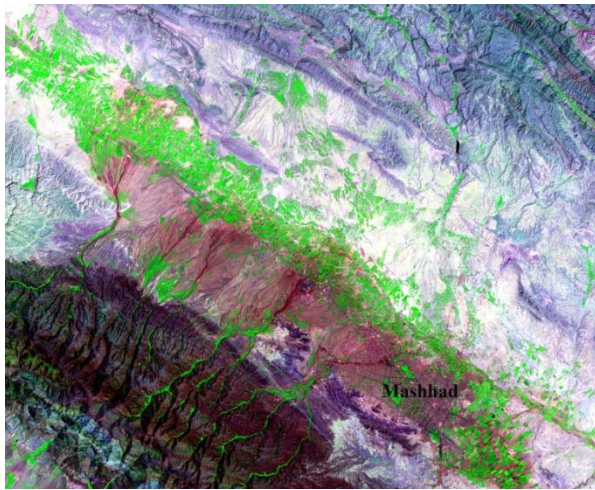
در این مطالعه تحلیل سری زمانی به کمک ۱۲ تصویر ENVISAT ASAR در بازه زمانی ۲۰۰۳ تا ۲۰۰۵ برای مطالعه رفتار زمانی فرونشست در دشت مشهد مورد استفاده قرار گرفته است. تحلیل ساده سری زمانی بدون در نظر گرفتن منابع خطا قبل از این منطقه در تحقیقات قبل به کار گرفته شده است [۱۷]. لیکن برخی از اینترفروگرامها به دلیل طول بلند خط مبنای مکانی تحت تأثیر اثر توپوگرافی قرار دارند. همچنین منابع دیگر خطا نظری اثرات اتمسفری منجر به کاهش دقت نتایج حاصل از تحلیل سری زمانی می‌گردد.

هدف اصلی این مقاله اندازه گیری مقدار جابجایی ناشی از فرونشست با رویکرد کاهش انواع خطاهای می‌باشد. همچنین مکانیزم فرونشست در مقابل کاهش سطح آب زیرزمینی مورد مطالعه قرار می‌گیرد. رابطه تنش –

تفییر اقلیم منجر به افزایش دما و بعضی کاهش متوسط بارندگی در سطح جهانی شده که خشکسالی را به همراه داشته است. کاهش بارندگی و پدیده خشکسالی منجر به افزایش استفاده از منابع آب‌های زیرزمینی شده است. بیشترین مقدار آب‌های زیرزمینی برای مصارف کشاورزی مورد استفاده قرار می‌گیرد. همچنین افزایش جمعیت باعث افزایش تقاضا برای آب می‌گردد. برداشت بی‌رویه از آبهای زیرزمینی منجر به افزایش فشار مؤثر بین ذرهای در رسوبات درون سفره آب زیرزمینی می‌شود [۱]. سفره آب زیرزمینی معمولاً از تعدادی میان لایه‌های ریزدانه که قابلیت تراکم بالای دارند، تشکیل شده است. پایه نظری تراکم میان لایه‌ها براساس اصل ترازاقی در مورد فشار مؤثر می‌باشد. این اصل بیان می‌دارد هنگامی که آب از سفره خارج شود، این میان لایه‌ها که اغلب از رس و سیلت تشکیل شده‌اند متراکم می‌گردد [۲]. بنابراین سفره به دلیل تغییر در میزان فشار دچار تغییر شکل یا جابجایی می‌شود.

فرونشست ناشی از استخراج بی‌رویه آبهای زیرزمینی به همراه پیامدهای زیست محیطی آن در اکثر دشت‌های دنیا به چشم می‌خورد [۴،۵،۶،۷]. این پیامدها عمدتاً شامل آسیب‌های جبران ناپذیر به ساختارهای مهندسی مانند ساختمانها، راهها، خطوط انتقال نیرو و چاهها و نیز ایجاد شکافهای عمیق و کاهش نفوذ پذیری خاک منطقه می‌گردد.

یکی از مناطق موجود در ایران که تحت تأثیر فرونشست ناشی از برداشت بی‌رویه آب زیرزمینی قرار دارد، دشت مشهد است. شهر مشهد در شمال شرق ایران قرار دارد که از نقطه نظر جمعیت دومین شهر بزرگ ایران محسوب می‌شود. بخش اعظم منطقه مورد نظر پوشیده از زمینهای کشاورزی است. بنابراین، استخراج بی‌رویه آبهای زیرزمینی از چاهها منجر به افت سطح آب شده است. مقدار متوسط



شکل ۱- تصویر ماهواره LANDSAT ETM+. مناطق سبز رنگ پوشش گیاهی را نشان می دهد.

۳- داده های موجود

کلیه داده های مورد استفاده در این تحقیق به ۳ بخش عمده داده های راداری، داده های ارزیابی و داده های چاهه ای پیزومتری تقسیم می شوند که در زیر در مورد هر یک توضیح داده است.

- داده های راداری : در منطقه مورد مطالعه ۱۲ تصویر ENVISAT ASAR سطح صفر که از مسیر شماره ۳۹۲ اخذ شده اند وجود داشت که تاریخ اخذ این تصاویر در جدول (۱) نشان داده شده است. داده ها در باند C با طول موج ۵.۶ سانتیمتر و در مُد تصویربرداری نزولی^۱ با زاویه دید ۲۳ درجه اخذ شده اند.

شکل (۲) در منطقه بزرگنمایی شده بخشی از شهر مشهد را نشان می دهد. همانطور که در بخش بعد بیان خواهد شد، ۱۸ اینترفروگرام به کمک این تصاویر مورد پردازش قرار گرفت که سعی شده است تا طول خط مبنای زمانی آنها کوتاه و طول خط مبنای مکانی آنها به منظور گسسته نشدن شبکه اینترفروگرامها (شکل ۴) بلند انتخاب شود.

کرنش با استفاده از اندازه گیری های تداخل سنجی و اطلاعات سطح آب زیرزمینی در محل چاهه ای پیزومتری به منظور بررسی مکانیزم نشت در اثر افت سطح آب زیرزمینی استخراج شد. تلفیق کمی نتایج حاصل از تداخل سنجی و مشاهدات سطح آب زیرزمینی اطلاعاتی را درخصوص ضریب ذخیره سفره در اختیار قرار می دهد.

ساختار مقاله حاضر به این صورت می باشد: بخش ۲ منطقه مورد مطالعه را معرفی می کند. در بخش ۳ داده های مجموعه داده های مورد استفاده در این مقاله معرفی می گردد. فرآیند تحلیل سری زمانی به طور کامل در بخش ۴ بیان می شود. نتایج در بخش ۵ ارائه می شود. مقایسه جابجایی های استخراج شده از تکنیک تداخل سنجی راداری و اطلاعات سطح آب زیرزمینی در این بخش ارائه می گردد. در نهایت بخش ۶ نتایج کلی را بیان می کند.

۲- منطقه مورد مطالعه

مشهد در شمال شرق ایران بین رشته کوه های بینالود و هزارمسجد با روند شمال غرب-جنوب شرق قرار دارد. زیرحوضه مشهد بخشی از حوضه آبریز قره قوم با مساحتی در حدود ۴۴۱۶۵ مترمربع می باشد. بخش اعظمی از دشت مشهد پوشیده از زمین های کشاورزی است (شکل (۱)). متوسط درجه دما در زیرحوضه مشهد در حدود ۱۲.۵ درجه سانتیگراد می باشد. با توجه به داده های بارندگی در بازه زمانی ۳۰ سال، متوسط بارندگی در مناطق کوهستانی ۳۱۵ و در دشت ۲۵۸ میلیمتر است. مقدار عمدی بارش در منطقه در فصول بهار و زمستان اتفاق می افتد. لیکن سفره آب زیرزمینی در فصول بارندگی به قدر کافی تغذیه نمی شود که این امر منجر به کاهش سطح آب زیرزمینی به طور پیوسته می گردد. بنابراین فرونشست به دلیل افت سطح آب زیرزمینی رخ می دهد.

نتایج حاصل از روش پیشنهادی مورد استفاده قرار گرفتند. این داده ها همان داده های ترازیابی مربوط به ۲۴ ایستگاه می باشند که در سالهای ۱۳۷۴ و ۱۳۸۴ توسط سازمان نقشه برداری کشور جمع آوری شده است. مسیر ترازیابی داده ها در شکل (۶) با خط سیاه ممتد نشان داده شده است.

جدول ۱- لیست تصاویر ENVISAT ASAR

مورد استفاده

تاریخ اخذ	تاریخ اخذ	تاریخ اخذ
۲۰۰۳/۰۶/۳۰	۲۰۰۴/۰۷/۱۹	۲۰۰۵/۰۸/۰۸
۲۰۰۳/۰۹/۰۸	۲۰۰۴/۱۱/۰۱	۲۰۰۵/۰۹/۱۲
۲۰۰۳/۱۲/۲۲	۲۰۰۴/۱۲/۰۶	۲۰۰۵/۱۰/۱۷
۲۰۰۴/۰۶/۱۴	۲۰۰۵/۰۵/۳۰	۲۰۰۵/۱۱/۲۱

- داده های ارزیابی: این داده ها برای ارزیابی



شکل ۲- تصویر دامنه چند منظره مربوط به تاریخ ۰۵/۰۵/۲۰۰۵. تصویر بزرگنمایی شده مربوط به بخشی از شهر مشهد می باشد.

متوسط نشست در بازه ۱۰ سال می باشد. بیشترین نرخ فرونشست برآورد شده به کمک

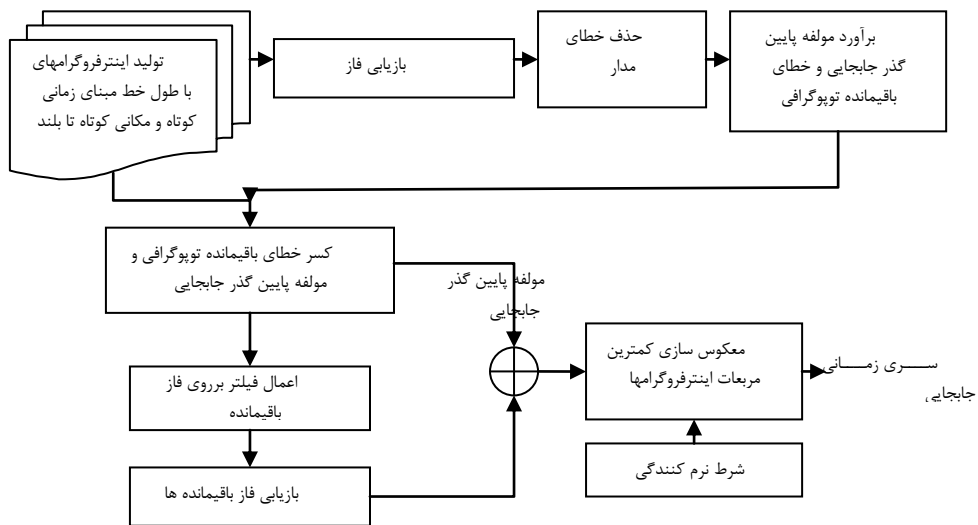
مقدار فرونشست زمین به کمک مشاهدات این بازه اندازه گیری شده است که در واقع همان نرخ

خارج از منطقه فرونشست (مانند چاههای شماره ۱۱، ۱۵ و ۷) قرار گرفته‌اند. اطلاعات سطح آب زیرزمینی چاهها با نتایج حاصل از تحلیل سری زمانی تداخل سنجی رداری در آن نقاط مقایسه شدند و ارتباط بین افت سطح آب زیرزمینی و افت سطح زمین مورد ارزیابی قرار گرفت. داده‌های مذکور در قسمتهای مختلف تحقیق مورد استفاده قرار گرفته‌اند.

۴- تحلیل سری زمانی تداخل سنجی رداری

تدخل سنجی رداری برای ایجاد سری زمانی جابجایی مورد استفاده قرار می‌گیرد. معکوس سازی کمترین مربعات برای محاسبه سری زمانی جابجایی به شرط اینکه تعداد اینترفروگرامها کافی و زنجیره اینترفروگرامها گستته نباشد به کار می‌رود. در تحلیل سری زمانی، مقادیر جابجایی برای هر تاریخِ اخذ تصویر با در نظر گرفتن تاریخ اول به صورت معلوم برآورد می‌شوند. فاز تداخل سنجی رداری که از اختلاف فاز دو تصویر پایه و پیرو حاصل می‌شود برابر است با:

$$\psi_{x,i} = W\{\phi_{D,x,i} + \phi_{A,x,i} + \Delta\phi_{S,x,i} + \Delta\phi_{topo,x,i} + \phi_{N,x,i}\} \quad (1)$$



شکل ۳- نمودار روش تحلیل سری زمانی جابجایی

داده‌های ترازیابی در حدود ۱۷ سانتیمتر می‌باشد. با توجه به شکل (۶) مشاهده می‌شود که مسیر ترازیابی از حاشیه منطقه نشست عبور می‌کند. بنابراین انتظار می‌رود نرخ فرونشست در کل منطقه از این مقدار بیشتر باشد. این مطلب در نتایج به وضوح مشخص خواهد شد.

- داده‌های چاههای پیزومتری: در منطقه مورد مطالعه در حدود ۳۰ چاه پیزومتری وجود دارد که سطح آب سفره زیرزمینی در آنها در بازه زمانی ۱۰ سال (۱۹۹۵ تا ۲۰۰۵) اندازه گیری شده است. محل چاههای پیزومتری در شکل (۶) به صورت نقاط آبی رنگ مشخص شده است. در بیشتر چاهها سطح آب زیرزمینی با گذشت زمان افت نموده است. نمودار مربوط به تغییرات سطح آب زیرزمینی در برخی از چاهها در شکل (۸) نشان داده شده است. چاهها به طور نسبتاً منظم در سطح منطقه پخش شده‌اند. با توجه به شکل (۶)، برخی در داخل منطقه فرونشست (مانند چاههای شماره ۶، ۱۳ و ۲۸)، برخی بر روی حاشیه چاههای شماره ۲۹، ۳۱ و ۴۰ و برخی در

(مانند چاههای شماره ۲ و ۲۸) و برخی در

رابطه (۱)

می باشد:
رابطه (۲)

$$\phi(t_i) = \bar{v} \cdot (t_i - t_0) + \frac{1}{2} \bar{a} \cdot (t_i - t_0)^2 + \frac{1}{6} \Delta \bar{a} \cdot (t_i - t_0)^3$$

$\phi(t_i)$ مؤلفه پایین گذر جابجایی می باشد. منظور از مؤلفه پایین گذر، مؤلفه ای از جابجایی است که در زمان دارای تغییرات آهسته است و به راحتی آن را بتوان مدل نمود، مثل مؤلفه خطی، درجه ۲ یا ۳. پارامترهای مؤلفه جابجایی شامل سرعت، شتاب و تغییرات شتاب به همراه خطای توپوگرافی ناشی از عدم دقت مدل ارتقایی برآورد می گردد. مؤلفه پایین گذر برآورد شده به همراه اثر توپوگرافی به صورت فاز بازیابی نشده از هر اینترفروگرام کسر می گردد. این عمل منجر به کاهش نرخ فرینج در اینترفروگرامها می شود. در نتیجه به راحتی می توان با بکار گرفتن یک فیلتر تطبیقی نویز هر اینترفروگرام را بدون نگرانی از تخریب فرینجها کاهش داد. کاهش نویز منجر به افزایش دقت بازیابی فاز می گردد. فاز بازیابی شده نهایی اصلاح شده با برگرداندن مؤلفه پایین گذر به اینترفروگرامها حاصل می شود. در این مرحله اینترفروگرامها از طریق حل کمترین مربعات به مقادیر جابجایی در هر تاریخ تبدیل می شوند. به منظور کاهش اثرات اتمسفورو خطای بازیابی فاز، یک شرط نرم کنندگی به مسئله معکوس سازی حل کمترین مربعات اضافه می شود. این شرط نرم کنندگی برمبنای تقریب تفاضل محدود^۱ برای مشتق درجه دوم سری زمانی با استفاده از مفهوم خم کمینه یعنی سرعت ثابت می باشد [۱۸و۱۹]. پس از حل کمترین مربعات، مقدار جابجایی در هر تاریخ بدست می آید.

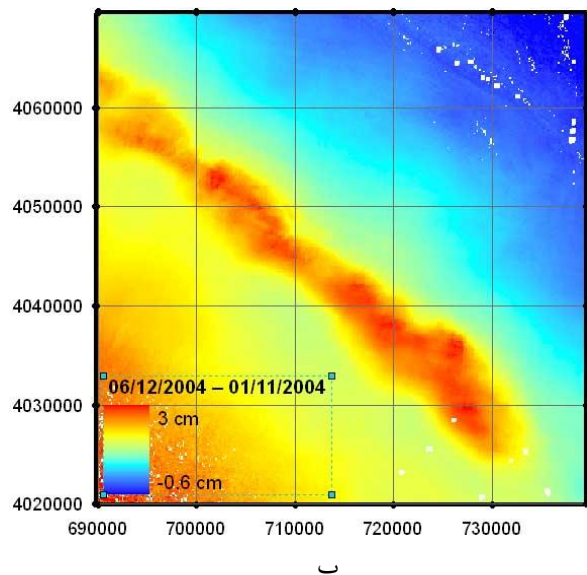
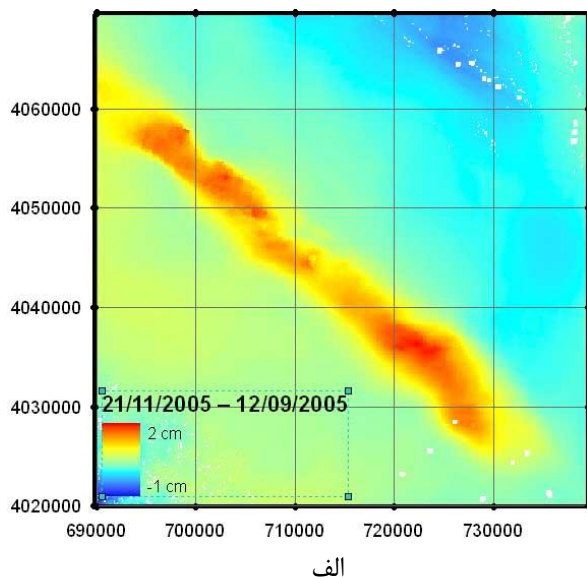
که در آن $\phi_{D,x,i}$ مؤلفه فاز مربوط به جابجایی سطح، $\phi_{A,x,i}$ مؤلفه مربوط به اثر اتمسфер، $\Delta\phi_{topo,x,i}$ فاز مربوط به اثر خطاهای مداری، $\Delta\phi_{N,x,i}$ فاز نویز ناشی از استفاده شده و (DEM) عدم همبستگی می باشد. از میان مؤلفه های بالا اثر مربوط به توپوگرافی و اثر اتمسfer منجر به کاهش دقت نتایج حاصل از سری زمانی می شود. در این مقاله سعی در کاهش این دو اثر در بهبود نتایج تحلیل سری زمانی داریم. شایان ذکر است، مؤلفه های ناشی از خطای مدار و عدم همبستگی نیز در الگوریتم پیشنهادی کاهش می یابند.

مراحل مختلف الگوریتم پیشنهادی در شکل (۳) نشان داده شده است.

اصول این الگوریتم توسط برادرینو و همکاران قبل ارائه شده است [۱۵]. لیکن نوآوری این مقاله در این موضوع است که در اینجا سعی در پردازش اینترفروگرامهای با طول خط مبنای زمانی کوتاه شده است. همچنین برای جلوگیری از کمبود رتبه در ماتریس ضرایب حل کمترین مربعات اینترفروگرامهای با طول مبنای مکانی بلند نیز پردازش شده است. با افزایش طول خط مبنای مکانی خطای باقیمانده توپوگرافی نیز در اینترفروگرام افزایش می یابد. در نتیجه اینترفروگرامها باید قبل از ورود به تحلیل سری زمانی اصلاح شوند. پس از مرحله بازیابی فاز، خطای مداری با برآش یک صفحه در خارج از منطقه جابجایی و کم نمودن آن صفحه از اینترفروگرامها حذف گردید. در مرحله بعد روشی برای کاهش اثر توپوگرافی باقیمانده مورد استفاده قرار گرفت. همانگونه که در معادله (۱) بیان شده است، در این روش فرض می شود که فاز تابعی از سرعت جابجایی، \bar{a} ، شتاب جابجایی، \bar{a} و تغییرات شتاب، \bar{v} ،

۱ Finite difference approximation

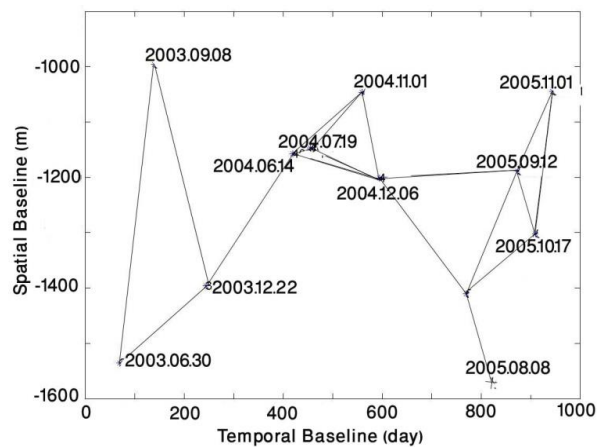
که در گوشه‌های تصویر شکل (۵) (الف) مشاهده می‌شود مربوط به خطای مداری است که در حین انجام تحلیل سری زمانی حذف می‌گردد.



شکل ۵- اینترفرگرامهای پردازش شده: (الف) ۲۰۰۴/۱۲/۰۶ – ۲۰۰۵/۰۹/۱۲ و (ب) ۲۰۰۴/۱۱/۰۱ – ۲۰۰۵/۱۱/۲۱

۵- نتایج حاصل از تحلیل سری زمانی InSAR

در تکنیک تداخل سنجی متداول می‌باشد اینترفروگرامهای همبسته را پردازش کنیم. اینترفروگرامهای با طول خط مبنای کوتاه همبسته می‌باشند و به راحتی فاز آنها قابل بازیابی می‌باشد. در این مطالعه، ۱۸ اینترفروگرام به کمک تصاویر ENVISAT ASAR بیان گردید، با استفاده از نرم افزار گاما مورد پردازش قرار گرفته‌اند. هندسه اخذ این تصاویر و اینترفروگرامهای پردازش شده به صورت خطوط ممتدة در شکل (۴) نشان داده شده است. همانطور که مشاهده می‌شود، اینترفروگرامها بیشتر دارای طول خط مبنای زمانی کوتاه هستند. به منظور حذف اثر توپوگرافی از مدل رقومی ارتفاعی SRTM^۱ با قدرت تفکیک مکانی ۹۰ متر استفاده شد.

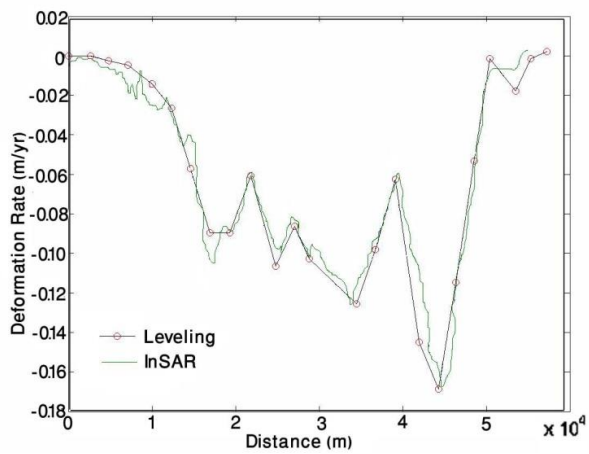


شکل ۴- هندسه اخذ تصاویر راداری در منطقه مورد مطالعه: محور X خط مبنای زمانی و محور y خط مبنای مکانی را نشان می‌دهد.

دو اینترفروگرام پردازش شده مربوط به تاریخهای ۲۰۰۴/۱۲/۰۶ – ۲۰۰۴/۱۱/۰۱ و ۲۰۰۵/۱۱/۲۱ در شکل (۵) نشان داده شده است. سیگنال مربوط به جابجایی به وضوح در مرکز شکل به رنگ قرمز مشاهده می‌شود. سیگنالهای آبی و قرمزی

¹ Shuttle Radar Topography Mission

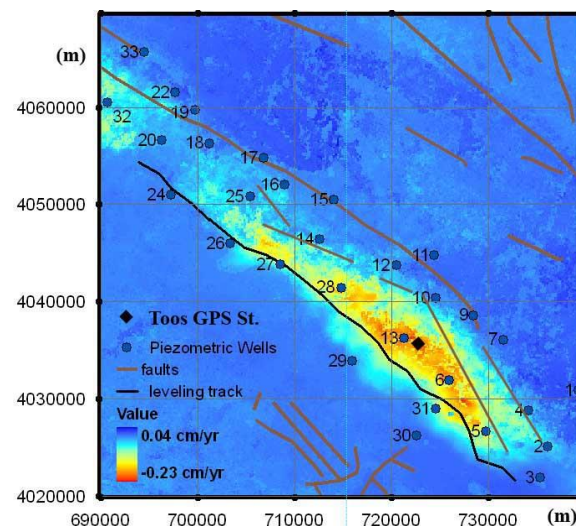
جمع آوری شده است. مسیر ترازیابی در شکل (۶) به صورت خط سیاه مشخص شده است که از حاشیه سیگنال فرونژست عبور می کند. به طور کلی ۲۴ ایستگاه ترازیابی دقیق در منطقه وجود دارد. نرخ جابجایی بدست آمده از تداخل سنجی راداری در محل ایستگاهها با نرخ حاصل از ترازیابی مورد مقایسه قرار گرفت و خطای $RMSE$ بین نتایج حاصل از تداخل سنجی راداری و ترازیابی به مقدار ۰.۹ سانتیمتر در سال برآورد شد که نشان دهنده دقت بالای روش پیشنهادی می بود. گرچه بازه زمانی داده های راداری و مشاهدات ترازیابی با هم متفاوت بود، لیکن نتایج هر دو روش تطابق خوبی با هم داشتند. شکل (۷) انطباق نتایج حاصل از هر دو روش را نشان می دهد.



شکل ۷ - مقایسه نرخ جابجایی حاصل از تحلیل سری زمانی تداخل سنجی راداری و ترازیابی

به منظور مطالعه علت رخداد فرونشست اطلاعات حاصل از تحلیل سری زمانی را با اطلاعات سطح آب زیرزمینی مقایسه کردیم. در حدود ۳۰ چاه پیزومتری در منطقه فرونشست وجود دارد که اطلاعات سطح آب زیرزمینی در آنها از سال ۱۹۹۵ تا ۲۰۰۵ اندازه‌گیری شده‌اند. در بیشتر چاهها افت سطح آب زیرزمینی به وضوح مشاهده می‌گردد. نوسانات سطح آب در برخی از چاههایی که در منطقه نشست و اطراف آن قرار دارند، در شکل (۸) نشان داده شده است. با مقایسه شکلهای (۸) و (۹) مشخص می‌شود که در چاههای شماره ۱۵،

سپس روش پیشنهادی برروی اینترفروگرامهای پردازش شده اعمال گردید. برای مشخص کردن عوارض شاخص فرونشست در سطح زمین و بررسی رفتار بلند مدت فرونشست، نقشه نرخ متوسط فرونشست به کمک نتایج حاصل از تحلیل سری زمانی استخراج شد (شکل ۶). بیشینه مقدار نرخ فرونشست ۲۳ سانتیمتر در سال برآورد شد. روند مکانی فرونشست در جهت شمال غرب-جنوب شرق می باشد که شبیه روند ارتفاعات در منطقه است. بنابراین الگوی مکانی فرونشست احتمالاً با ساختارهای خطی منطقه مانند گسلها کنترل می گردد (شکل ۶) را ببینید.



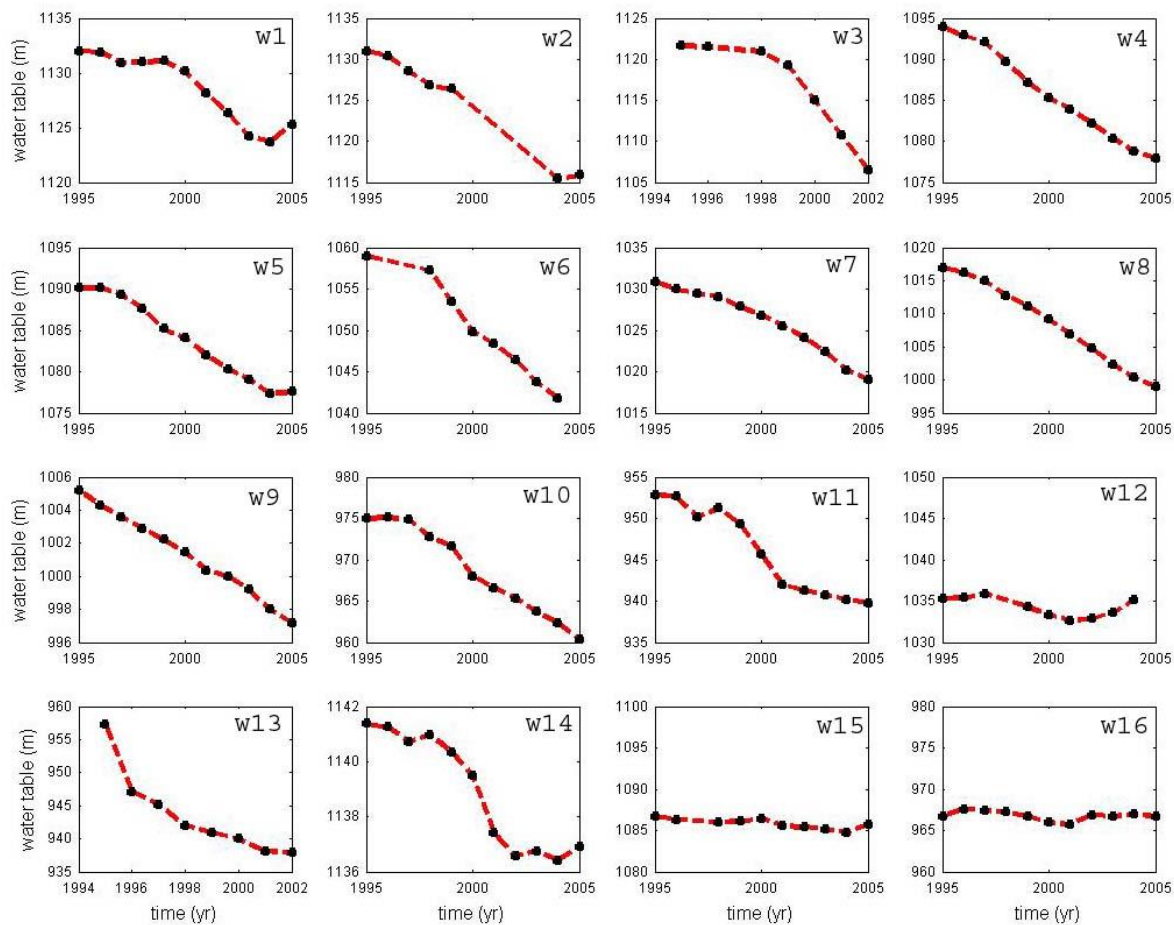
شکل ۶- نقشه نرخ متوسط فرونشست. چاههای پیزومنtri با دوایر آبی رنگ نشان داده شده است. خطوط در تصویر، گسلها و خطواره ها می باشند.

گسلها و خطواره ها در شکل (۶) توسط نقشه زمین‌شناسی با مقیاس ۱:۲۵۰۰۰ و همچنین تصاویر ماهواره‌ای استخراج شده است. این گسلها و خطواره‌ها مانند یک سد در سفره آب زیرزمینی عمل می‌کنند که جریان آبهای زیرزمینی را کنترل می‌کنند. برای ارزیابی نتایج، نرخ متوسط حاصله از تحلیل سری زمانی جابجایی را با نرخ متوسط حاصل از مشاهدات ترازیابی مقایسه نمودیم. مشاهدات ترازیابی در سالهای ۱۳۷۴ الی ۱۳۸۴ توسط سازمان نقشه‌برداری

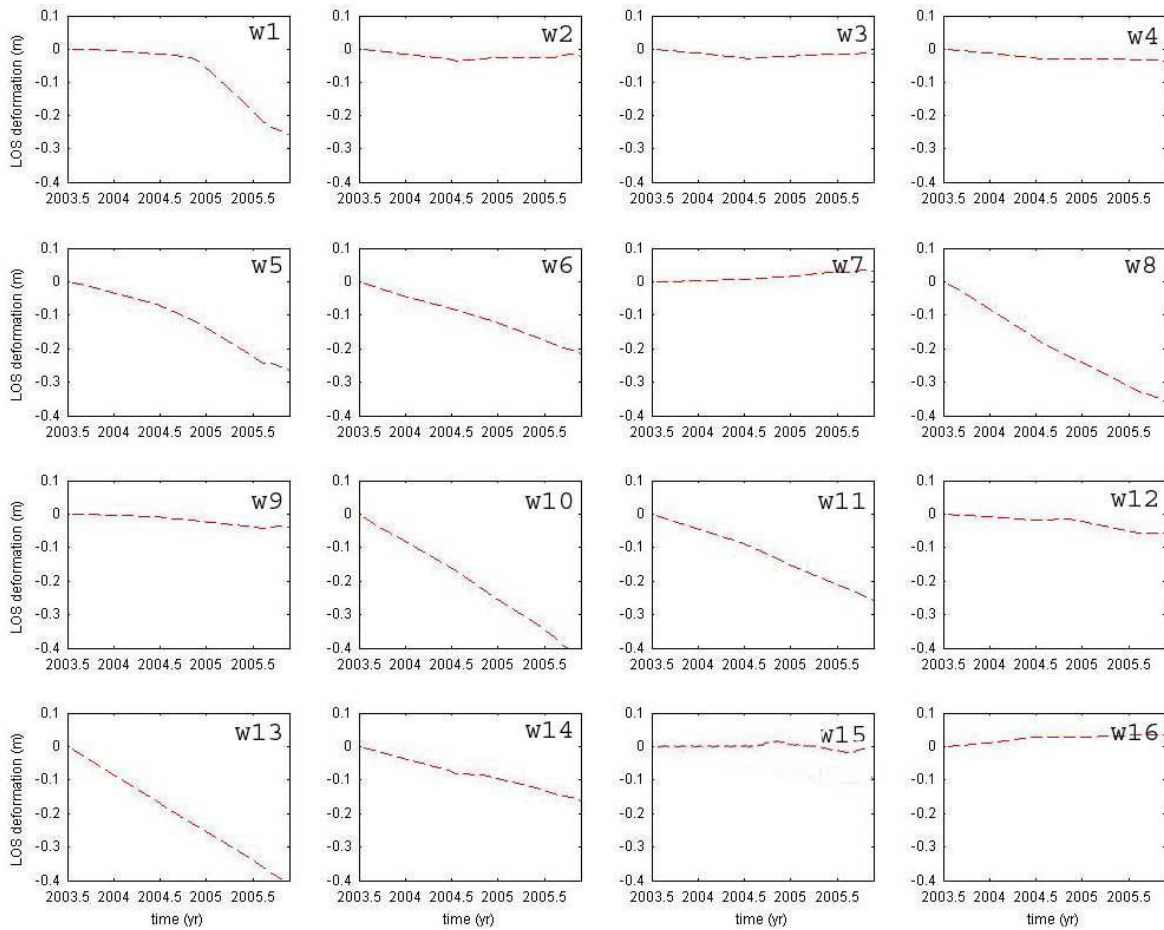
دلیل خروج آب از بین آنها، به میزان قابل توجهی متراکم نمی‌شوند.

به منظور مقایسه نوسانات سطح آب زیرزمینی و سطح زمین، سری زمانی جابجایی سطح زمین در همان چاههای پیزومتری در شکل (۹) نشان داده است.

۱۶ و ۱۲ که در خارج از منطقه فرونژست قرار دارند، افت سطح آب نیز ناچیز است. از طرفی دیگر، در برخی از چاهها مانند چاه شماره ۱، ۱۱ و ۷ علی‌رغم افت شدید سطح آب، فرونژست مشاهده نمی‌گردد. این مسئله می‌تواند به دلیل جنس آبخوان در آن مناطق باشد. به طور کلی رسوبات درشت دانه درجه تراکم پذیری پایینی دارند و لذا با افزایش تنش بین ذرهای به



شکل ۸. نوسانات سطح آب زیرزمینی در ۱۶ چاه پیزومتری در بازه زمانی ۱۹۹۵ تا ۲۰۰۵.



شکل ۹. سری زمانی جابجایی سطح زمین استخراج شده از تحلیل سری زمانی در چاههای پیزومتری که افت سطح آب در آنها در شکل (۸) نشان داده شده است.

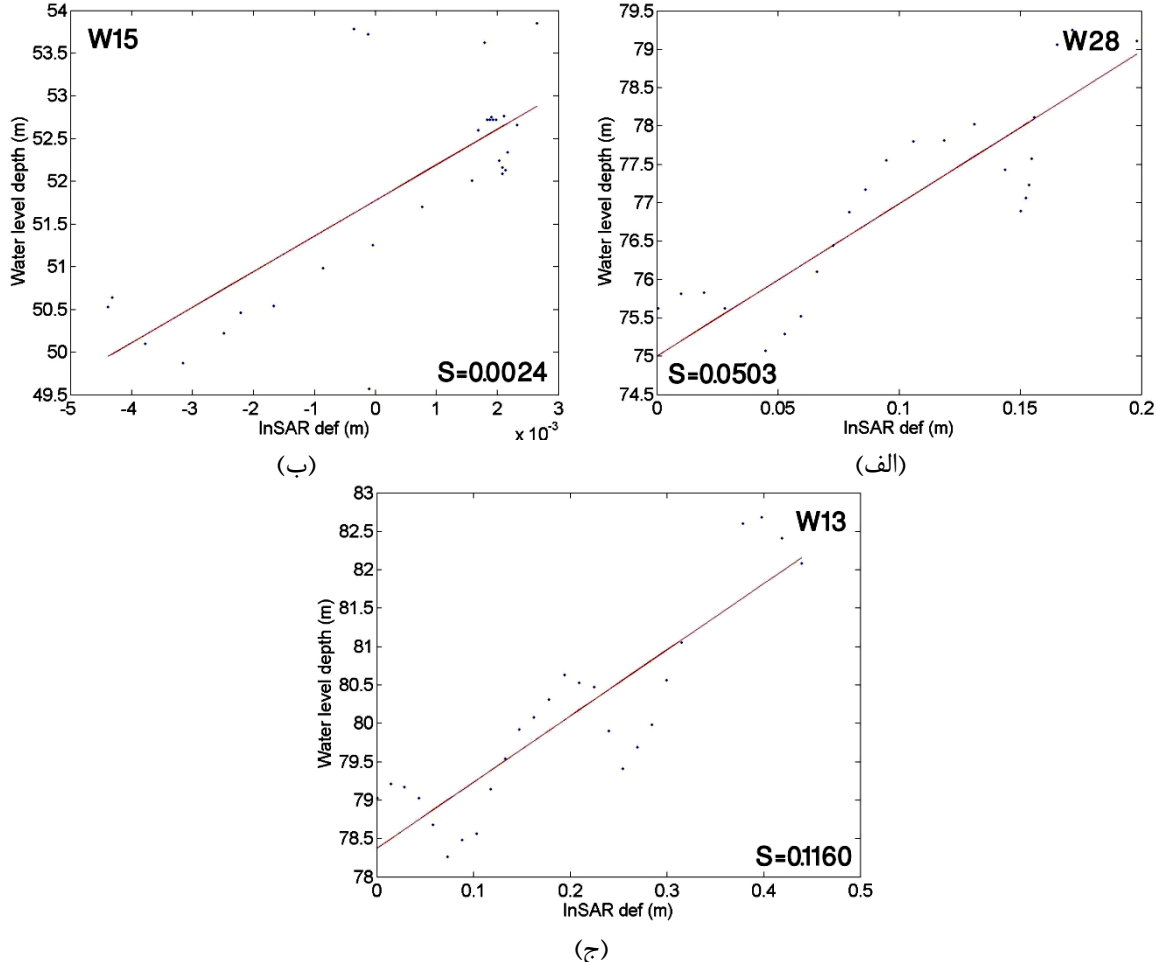
تداخل سنجی راداری که نشان دهنده میزان تراکم سفره می‌باشد بر روی محور x رسم می‌گردد. یک برآورد تقریبی از میزان ضریب ذخیره کلی سفره برابر با معکوس شیب بهترین خط برآش داده شده بر این نمودار می‌گردد [۳].

به طور کلی میزان ضریب ذخیره سفره که شامل پاسخ سفره و میان لایه‌های ریزدانه به تغییرات سطح هیدرولیکی آب است به کمک آزمایش پمپاژ تعیین می‌گردد. لیکن ضریب ذخیره تعیین شده در این آزمایش تنها نماینده نفوذ پذیرترین بخش سفره آب زیرزمینی است. ضریب ذخیره برآورد شده به کمک اطلاعات تداخل سنجی راداری و

به منظور مطالعه تغییرات تنش - کرنش^۱ در زیر حوضه مشهد، اطلاعات سطح آب زیرزمینی در چاههای پیزومتری مورد تحلیل قرار گرفت. مکانیزم تراکم و رابطه تنش - کرنش در سفره آب زیرزمینی از اطلاعات تداخل سنجی راداری و مشاهدات همزمان سطح آب زیرزمینی استخراج شدند. یکی از روش‌های بررسی ارتباط بین نوسان سطح آب زیرزمینی و جابجایی سطح زمین این است که هر دو پارامتر در یک نمودار نشان داده شوند. تغییرات سطح آب زیرزمینی بر روی محور u و میزان جابجایی حاصله از تکنیک

1 Stress-strain

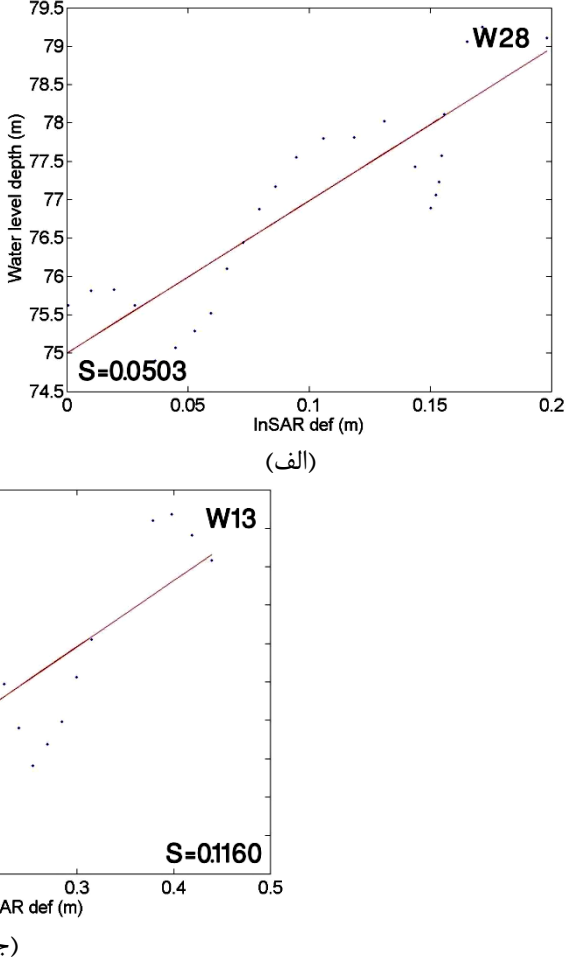
می‌تواند منجر به پیش‌بینی مقدار فرونشست بشهزاده باشد. افت مشخصی از سطح آب گردد.



شکل ۱۰- ضرایب ذخیره محاسبه شده از تحلیل سری زمانی جابجایی و اطلاعات سطح آب زیرزمینی چاههای W15 (خارج از منطقه فرونشست)، W28 (در حاشیه منطقه فرونشست) و W13 (در داخل منطقه فرونشست). S در تصویر نشان دهنده ضریب ذخیره کلی سفره در آن نقطه می‌باشد

نشان داده شده است. خط برآش داده شده می‌تواند در پیش‌بینی مقدار فرونشست در کوتاه مدت به ازای افت مشخصی از سطح آب زیرزمینی کمک کند. در شکل (۱۰) (الف) و (ج) مشاهده می‌گردد که نمودار تنش-کرنش دارای یک رفتار نوسانی سینوسی می‌باشد که به دلیل تخلیه و تغذیه آبخوان در فصول تابستان و زمستان ایجاد شده است. بنابراین اگر بتوان

اندازه گیریهای سطح آب زیرزمینی برآورده را در محل چاههای پیزومتری نشان می‌دهد که با مکان متغیر است. همچنین مقدار شیب خط برآش شده



تغییرات سطح آب که با جابجایی سطح زمین در یک نمودار ترسیم شده برای ۳ چاه پیزومتری واقع در وسط، حاشیه و خارج منطقه فرونشست، در شکل (۱۰) نشان داده شده است. خط قرمز رنگ در نمودارها نشان دهنده بهترین خط برآش داده شده می‌باشد که معکوس شیب آن برابر با ضریب ذخیره کلی سفره است. این عدد در کنار هر نمودار با حرف S

سری زمانی شوند، می‌بایست پالایش شوند. همچنین به منظور کاهش اثر اتمسفری در حین انجام تحلیل سری زمانی، یک شرط نرم کنندگی به حل کمترین مربعات اضافه می‌گردد.

بیشینه مقدار نرخ متوسط فرونشست در منطقه ۲۳ سانتیمتر در سال برآورد شد. سری زمانی جابجایی که از تداخل سنجی راداری بدست آمده است با سری زمانی سطح آب زیرزمینی به طور کمی با هم مقایسه شدند. در بسیاری از چاههای پیزومتری افت سطح آب با نشست سطح زمین همبستگی بالایی نشان دادند. از طرفی در برخی از چاهها علی رغم افت سطح آب زیرزمینی سیگنال فرونشست وجود نداشت. دلیل این مسئله را بیشتر می‌توان در جنس خاک منطقه جستجو کرد. این مسئله با مطالعه لوگ چاههای پیزومتری مشخص می‌گردد.

رابطه تنش - کرنش بدست آمد. تلفیق کمی این داده‌ها، اطلاعاتی راجع به تراکم پذیری سفره آب زیرزمینی ارائه می‌دهد. این اطلاعات را می‌توان برای مدلسازی سفره آب زیرزمینی مورد استفاده قرار داد که به عنوان موضوع تحقیقاتی آتی می‌تواند در نظر گرفته شود.

سپاسگذاری

برخود لازم می‌دانیم از آژانس فضایی اروپا (ESA) به خاطر در اختیار قرار دادن داده‌های ENVISAT ASAR تشکر کنیم. همچنین از سازمان زمین شناسی و اکتشافات کشور به خاطر استفاده از نرم افزار گاما و اطلاعات چاههای پیزومتری کمال تشکر را داریم.

به این سریهای نوسانی تابع برازش داد، می‌توان با دقت بالاتری پیش‌بینی نشست سطح زمین را انجام داد. اشاره به این نکته ضروریست که در بسیاری از اوقات به دلیل قابلیت هدایت هیدرولیکی یک تأخیر زمانی بین افت سطح آب و نشست سطح زمین وجود دارد. بنابراین مقادیر برآورد شده ضریب ذخیره دقیقاً تراکم پذیری سفره را به دلیل این تأخیر زمانی نشان نمی‌دهد. به منظور برآورد دقیق تر ضریب ذخیره سفره، اطلاعات دیگری از جمله ضخامت میان لایه‌ها و توزیع آنها درون سفره مورد نیاز است [۲].

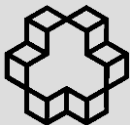
۶- نتیجه گیری

کمبود بارش به دلیل تغییر اقلیم منجر به افزایش برداشت از سفره‌های آب زیرزمینی و رخداد پدیده فرونشست می‌گردد. فرونشست در اثر خشکسالی از جمله پرهزینه ترین بلایابی طبیعی است. اولین اقدام برای پایش فرونشست بررسی رفتار سطح زمین و اندازه گیری نرخ جابجایی باشد. در این مقاله رفتار زمانی فرونشست در زیرحوضه مشهد با استفاده از تحلیل سری زمانی چند مرحله‌ای بر مبنای مشاهدات تداخل سنجی راداری مورد مطالعه قرار گرفت. اینترفروگرامهای پردازش شده تنها دارای خط مبنای زمانی کوتاه به منظور کاهش عدم همبستگی زمانی می‌باشند و خط مبنای مکانی آنها بلندتر از حد معمول است، زیرا هدف پردازش تعداد زیادی اینترفروگرام بوده به نحوی که زنجیره اینترفروگرامها گستته نباشد. لیکن اینترفروگرامهای با طول خط مبنای مکانی بلند تحت تأثیر خطای توپوگرافی قرار دارند. لذا قبل از آنکه اینترفروگرامها وارد تحلیل

مراجع

- [1] K. Terzaghi, "Principles of soil mechanics, IV, settlement and consolidation of clay.", Eng. News Rec., vol. 95, pp. 874–878, 1925.
- [2] J. Hoffmann, S.A. Leake, D. L. Galloway, and A.M. Wilson, "MODFLOW-2000 ground-water model—user guide to the subsidence and aquifer-system compaction (SUB) package," U.S. Geological Survey Open-File Report 03-233, 2003.
- [3] J. Hoffmann, D.L. Galloway, H.A. Zebker, and F. Amelung, "Seasonal subsidence and rebound in Las Vegas Valley, Nevada, observed by synthetic aperture radar interferometry," Water Resour. Res., vol.

- 37(6), pp. 1551–1566, 2001.
- [4] C.F. Tolman, and J.F. Poland, “Groundwater, salt-water infiltration, and ground-surface recession in Santa Clara Valley, Santa Clara County, California,” Am. geophys. Un. Trans., vol. 21, pp. 23–34, 1940.
- [5] J.F. Poland, and G.H. Davis, “Land subsidence due to withdrawal of fluids,” Rev. Eng. Geol., vol. 2, pp. 187–269, 1969.
- [6] D.L. Galloway, K.W. Hudnut, S.E. Ingebritsen, S.P. Phillips, G. Peltzer, F. Rogez, and P.A. Rosen, “Detection of aquifer system compaction and land subsidence using interferometric synthetic aperture radar, Antelope valley, Mojave Desert, California,” Water Resour. Res., vol. 34, pp. 2573–2585, 1998.
- [7] D.L.Galloway, D.R. Jones, and S.E. Ingebritsen, “Land subsidence in the United States,” US Geological Survey Circular, No.1182, p. 175, 1999.
- [8] A. Alizadeh, “Mathematical models of Mashhad study area. Preliminary reports of the ministry of power,” Regional water co. of Khorasan, Applied researches committee, 2004.
- [9] F. Amelung, D.L. Galloway, J.W. Bell, H.A. Zebker, and R.J. Lacznak, “Sensing the ups and downs of Las Vegas—InSAR reveals structural control of land subsidence and aquifer-system deformation,” Geology, vol. 27, pp. 483–486, 1999.
- [10] G. Peltzer, P. Rosen, F. Rogez, and K. Hudnut, “Poro-elastic rebound along the Landers 1992 earthquake surface rupture,” J. geophys. Res., vol. 103, pp. 30 131–30 145, 1998.
- [11] B. Fruneau, and F. Sarti, “Detection of ground subsidence in the city of Paris using radar interferometry: isolation from atmospheric artifacts using correlation,” Geophys. Res. Lett., vol. 27(24), pp. 3981–3984, 2000.
- [12] M. Tesauro, P. Berardino, R. Lanari, E. Sansoti, G. Fornaro, and G. Franceschetti, “Urban subsidence inside the City of Napoli (Italy) observed with synthetic aperture radar interferometry at Campi Flegrei caldera”, J. geophys. Res., vol. 27, pp. 1961–1964, 2000.
- [13] M. Crosetto, C.C. Tscherning, B. Crippa, and M. Castillo, “Subsidence monitoring using SAR interferometry: reduction of the atmospheric effects using stochastic filtering,” Geophys. Res. Lett., vol. 29(9), pp. 26.1–26.4, 2002.
- [14] M. Motagh, Y. Djamour, T.R. Walter, H.U. Wetzel, J. Zschau, and S. Arabi, “Land subsidence in Mashhad Valley, northeast Iran: results from InSAR, levelling and GPS,” Geophys. J. Int., 168, 2006.
- [15] P. Berardino, G. Fornaro, R. Lanari, and E. Sansosti, “A New algorithm for surface deformation monitoring based on small baseline differential SAR interferograms,” IEEE Trans. Geosci. Remote Sens., vol. 40, pp. 2375–2383, 2002.
- [16] M. Dehghani, “Estimation of Deformation Rate and Modeling of Land Subsidence Induced by Groundwater Exploitation using Interferometry”, Ph.D. Thesis. K. N. Toosi University of Technology, 2009
- [17] M. Dehghani, M. J. Valadan Zouj, J. Biggs, A. Mansourian, B. Parsons, and T. Wright, “RADAR Interferometry Time Series Analysis of Mashhad Subsidence,” Journal of International Society of Remote Sensing (ISRS), vol. 37(1), pp. 147-156, 2009.
- [18] D. A. Schmidt, and R. Burgmann, “Time-dependent land uplift and subsidence in the Santa Clara valley, California, from a large interferometric synthetic aperture radar data set” , J. geophys. Res., vol. 108(B9), pp. 2416, 2003.
- [19] P. Lundgren, S. Usai, E. Sansoti, R. Lanari,, M. Tesauro, G. Fornaro, and P. Berardino, “Modeling surface deformation observed with SAR interferometry at Campi Flegrei Caldera,” J. geophys. Res., vol. 106, pp. 19 355–19 367, 2001.



An Enhanced Algorithm based on Radar Interferometry for Monitoring Land Subsidence Caused by Over-Exploitation of Groundwater

Maryam Dehghani^{1*}

¹ Assistant Professor of Dept. Of Civil and Environmental Engineering, School of Engineering, Shiraz University

Abstract

Over-exploitation of groundwater has caused land subsidence in large rural areas located in Mashhad sub-basin, northeast of Iran. Time series analysis using Interferometric SAR (InSAR) data has shown its ability to monitor the temporal evolution of land subsidence. In this paper, time series analysis based on Small Baseline Subset (SBAS) algorithm is applied to study the Mashhad sub-basin subsidence. 18 interferograms were generated using 12 ENVISAT ASAR images spanning between 2003 and 2005. In order to decrease the temporal decorrelation effect caused by the agricultural fields, only interferograms with small temporal baselines are used in the time series analysis. However, to prevent the solution from the rank deficiency, it is tried to generate as many interferograms as possible. Because the interferograms with large spatial baselines are influenced by the topographic artifacts, they are refined before using in the time series analysis. Moreover, the atmospheric-error free deformation corresponding to every acquisition time is retrieved by applying the smoothing constraint into the least squares solution. The maximum deformation rate in the study area is estimated as ~23 cm/yr. The compressibility of the aquifer system is finally investigated by the quantitative integration of the InSAR displacement measurements with observations of the hydraulic head fluctuations at few piezometric wells.

Key words: Radar Interferometry, Time Series Analysis, Subsidence